УЛК 548

ТЕРМИЧЕСКОЕ РАСШИРЕНИЕ ОКСОБОРОГЕРМАНАТА $\mathrm{Sm_{14}(GeO_4)_2(BO_3)_6O_8}$

© 2024 г. Сукачев Н. В.¹, Шаблинский А. П.², Кржижановская М. Г.^{1, 2}, Бубнова Р. С.^{1, *}

¹Институт химии силикатов им. И.В. Гребенщикова РАН, 199034, Россия, Санкт-Петербург, наб. Макарова, 2
²Санкт-Петербургский государственный университет, ИНо3, каф. Кристаллографии, 199034, Россия, Санкт-Петербург, Университетская наб., 7/9
*e-mail: rimma_bubnova@mail.ru
Поступила в редакцию 27.06.24
После доработки 10.09.24

Принята к публикации 13.09.24

Исследовано термическое расширение оксоборогерманата самария $\mathrm{Sm}_{14}(\mathrm{GeO_4})_2(\mathrm{BO_3})_6\mathrm{O_8}$ методом терморентгенографии в интервале температур 30–1200 °C. Рассчитаны коэффициенты термического расширения: $\alpha_{11} = 9.59(12), \, \alpha_c = 7.56(13), \, \alpha_V = 26.74(30) \times 10^{-6}\,^{\circ}\mathrm{C^{-1}}$ при 30 °C; $\alpha_a = 14.44(12), \, \alpha_c = 10.74(13), \, \alpha_V = 39.61(28) \times 10^{-6}\,^{\circ}\mathrm{C^{-1}}$ при 1200 °C. Проведена структурная трактовка анизотропии термического расширения. С увеличением температуры степень анизотропии практически не меняется, минимально структура расширяется вдоль оси c, а максимально в плоскости ab, перпендикулярно предпочтительной ориентировке треугольников $\mathrm{BO_3}$ в кристаллической структуре. Уточнена температура плавления $\mathrm{Sm_{14}(GeO_4)_2(BO_3)_6O_8}.$

Ключевые слова: борогерманат самария, флюоритовые модули, термическое расширение, терморентгенография

DOI: 10.31857/S0132665124060054, EDN: DWGPAY

ВВЕДЕНИЕ

Борогерманаты проявляют большое кристаллохимическое разнообразие благодаря тому, что полиэдры B-O и Ge-O могут иметь каждый по три различные координации: "гантельную" BO_2 , треугольную BO_3 , тетраэдрическую BO_4 и тетраэдрическую GeO_4 , тригонально-дипирамидальную GeO_5 и октаэдрическую GeO_6 соответственно. Также данные соединения обладают богатыми магнитными, люминесцентными, нелинейно-оптическими и сегнетоэлектрическими свойствами [1–4]. Кроме того, борогерманаты обладают такими превосходными свойствами, как широкие области прозрачности, высокие пороги оптической устойчивости к повреждениям, а также высокая термическая стабильность. Германаты также являются важным классом цеолитов или пористых материалов, обладающими такими свойствами, как селективный по форме катализ и ионообменные свойства [5–7].

За счет большой встречаемости среди боратов и борогерманатов нецентросимметричных (NCS) кристаллических структур данные соединения привлекают большое внимание ученых благодаря возможному применению некоторых из них в лазерных технологиях [8]. Нецентросимметричные соединения имеют большое значение в материаловедении и технике благодаря своим полезным физическим свойствам (нелинейно-оптическим, термоэлектрическим и др.). Оксоборогерманат самария $Sm_{14}(GeO_4)_2(BO_3)_6O_8$ относится к подобного рода структурам.

С этой целью стало необходимым изучить термическое расширение оксоборогерманата самария $Sm_{14}(GeO_4)_2(BO_3)_6O_8$, поскольку лазерные материалы часто применяются не при комнатной температуре.

ЭКСПЕРИМЕНТАЛЬНАЯ ЧАСТЬ

Синтез образца $Sm_{14}(GeO_4)_2(BO_3)_6O_8$ осуществлялся методом твердофазных реакций. В качестве исходных реактивов использовали Sm_2O_3 марки «хч», H_3BO_3 марки «о.с.ч.» и GeO_2 марки «о.с.ч.», которые были смешаны в стехиометрическом соотношении.

После предварительного обжига шихты при 200 °C в течение 72 ч она была растерта в агатовой ступке и были спрессованы таблетки, которые подвергались обжигу в Рt-тиглях в течение 30 ч при температурах 500, 700, 1000 и 1200 °C с промежуточным перетиранием.

Фазовый состав образца на каждой стадии синтеза определяли методом рентгеновской дифракции (дифрактометр Rigaku MiniFlex II, излучение CuK_{α}). Первичную обработку данных и расчет параметров элементарной ячейки в исследуемых образцах проводили в программном комплексе ThetaToTensor [14].

 Φ азовый анализ показал, что при 700 °C началось протекание реакции, а после финального обжига при 1200 °C образец оказался гомогенным.

Термическое расширение исследовали методом порошковой терморентгенографии на дифрактометре Rigaku Ultima IV (излучение CoK_{α} , геометрия на отражение, позиционно-чувствительный детектор D-Tex Ultra) с высокотемпературной камерой Rigaku SHT-1500. Интервал углов дифракции $2\theta = 10-80^{\circ}$, интервал температур — $30-1200^{\circ}$ C, шаг по температуре — 30° C.

Коэффициенты термического расширения рассчитывали с применением программного комплекса RietveldToTensor [15]. При каждой температуре уточняли параметры элементарной ячейки, нулевое положение счетчика, сдвиг плоскости образца от аксиальной оси гониометра, полуширину пиков. Факторы сходимости: $R_{wp}=0.044,\ R_p=0.026,\ R_{exp}=0.017$ при 30°C и $R_{wp}=0.049,\ R_p=0.0298,\ R_{exp}=0.0174$ при 1200 °C.

Термический анализ проводили методом дифференциальной сканирующей калориметрии (ДСК) на установке NETZSCH STA 449C в платиново-родиевом тигле, на воздухе, в температурном интервале 20-1500 °C. Масса навески -20 мг, скорость нагревания -20 °C/мин.

РЕЗУЛЬТАТЫ.

Данные термического анализа

На кривой ДСК начало эндотермического эффекта, соответствующего температуре плавления $Sm_{14}(GeO_4)_2(BO_3)_6O_8$, было определено при температуре при 1305 °C по изменению первой производной кривой ДСК (рис. 1). Никаких других эффектов на кривой ДСК не

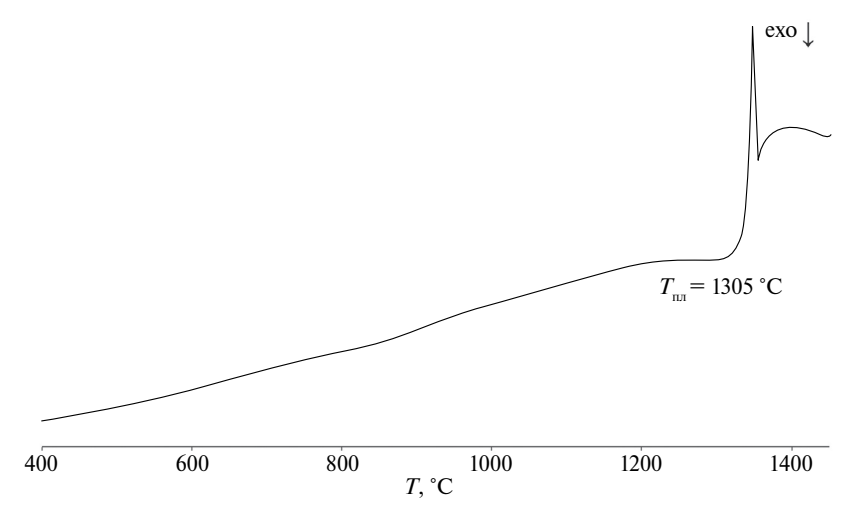


Рис. 1. Кривая ДСК Sm₁₄(GeO₄)₂(BO₃)₆O₈.

наблюдалось. Согласно данным термогравиметрии (ТГ), потеря массы практически не наблюдалась.

Описание кристаллической структуры

Кристаллическая структура $Sm_{14}(GeO_4)_2(BO_3)_6O_8$ представляет собой каркас, состоящий из изолированных треугольных групп BO_3 и изолированных тетраэдров GeO_4 , соединенных через вершины и грани полиэдрами Sm-O, пространственная группа $P3_1$.

В соответствии с описанием кристаллической структуры, приведенным в [9], атомы Sm и O образуют псевдоплотнейшую шаровую упаковку, в которой можно выделить шесть неэквивалентных слоев.

Атомы бора (шесть независимых позиций) координированы тремя атомами кислорода, формируя треугольные радикалы BO_3 со средними длинами связей: B(1) - 1.36 - 1.41, B(2) - 1.31 - 1.42, B(3) - 1.34 - 1.44, B(4) - 1.36 - 1.40, B(5) - 1.31 - 1.38 Å. Треугольный радикал $B(6)O_3$ статистически разупорядочен, для него локализовано 5 атомов кислорода с длинами связей 1.16 - 1.54 Å. Позиции O(25) - O(28) частично заселены на 50%. Атомы Ge имеют две независимые позиции, они координированы четырьмя атомами кислорода, образуя практически правильные тетраэдры, с длинами связей Ge(1) 1.70 - 1.74 и Ge(2) 1.74 - 1.76 Å.

Атомы Sm в структуре образуют полиэдры Sm—O с координационными числами от 6 до 10, все полиэдры искажены.

Поскольку в кристаллической структуре есть атомы кислорода O(29)—O(36), не связанные с бором и германием, то кристаллическую структуру соединения можно описать в терминах оксоцентрированных полиэдров. Оксоцентрированные тетраэдры OSm_4 соединены между собой через общие ребра. Можно выделить слой, состоящий из восьмичленных групп тетраэдров OSm_4 . Данные слои соединяются через общие вершины [10].

Для описания слоев (двумерных карксов) из оксоцентрированных полиэдров в кристаллической структуре $Sm_{14}(GeO_4)_2(BO_3)_6O_8$ можно использовать

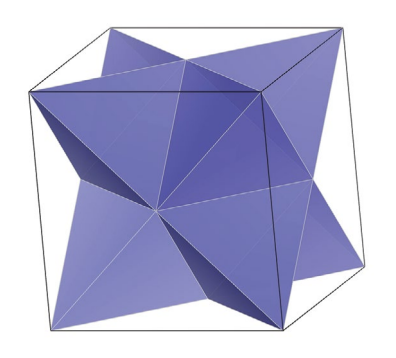


Рис. 2. Флюоритовый модуль из анионоцентрированных тетраэдров, не содержащий вакансий.

расширенную и модифицированную систематику Канга—Эйринга [11—13]. В этой систематике описание каркасных структур из анионоцентрированных тетраэдров производится через флюоритовые модули, представляющие собой флюоритовую ячейку анионоцентрировных тетраэдров с определенным набором вакансий (рис. 2) [11].

В флюоритовом модуле из анионоцентрированных тетраэдров, не содержащем вакансий, каждая вершина является общей для восьми тетраэдров (FCa₄), и каждый из них соединен ребрами с шестью соседними тетраэдрами. Предложенный Кангом и Эйрингом

способ представления [11] был развит С.В. Кривовичевым, в результате чего было выведено 22 различных типа флюоритовых модулей [12, 13]. В слоях (двумерных каркасах), состоящих из оксоцентрированных тетраэдров OSm_4 кристаллической структуры $Sm_{14}(GeO_4)_2(BO_3)_6O_8$, можно выделить три типа: модуль b, модуль f и модуль i (рис. 3).

Таким образом, слои структуры $Sm_{14}(GeO_4)_2(BO_3)_6O_8$ состоят из флюоритоподобных модулей, а в пустотах такого двумерного каркаса располагаются треугольники BO_3 и тетраэдры GeO_4 (рис. 4).

Данные порошковой терморентгенографии

С повышением температуры дифракционная картина соединения не претерпевала изменений. Пики закономерно смещались в область малых углов, фазовый состав образца не менялся. Температурные зависимости параметров и объема элементарной ячейки аппроксимировали полиномами второй степени в интервале температур 30-1200 °C (рис. 5, табл. 1).

Таблица 1. Уравнения аппроксимации температурных зависимостей параметров и объема элементарной ячейки

Уравнение $l(t) = l_0 + l_1 t + l_2 t^2$ в интервале 25–1200 °C					
a(t), Å	c(t), Å	V(t), Å			
$9.82030(32) + 0.0000942(12)t + + 0.00000002070(97)t^{2}$	$25.81339(90) + 0.0001952(34)t + + 0.0000000355(27)t^2$	$2155.91(17) + 0.05740(64)t + + 0.00001303(51)t^{2}$			

Таблица 2. Коэффициенты термического расширения α (* 10⁶ °C⁻¹)

t,°C	a_a , $10^6 {}^{\circ}\text{C}^{-1}$	a_c , $10^6 ^{\circ} \mathrm{C}^{-1}$	$lpha_{ m max}/lpha_{ m min}$	a_V , $10^6 {}^{\circ}\text{C}^{-1}$
30	9.59(12)	7.63(13)	1.26	26.74(30)
600	12.039(30)	9.163(32)	1.31	33.241(74)
1200	14.44(12)	10.74(13)	1.35	39.61(28)

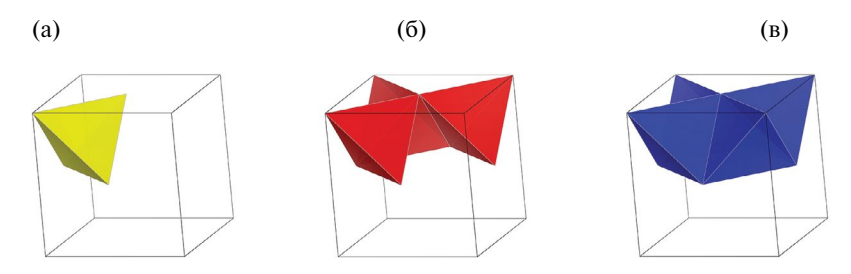


Рис. 3. Флюоритовые модули Карла—Эйринга: a — модуль b, δ — модуль f, ϵ — модуль i.

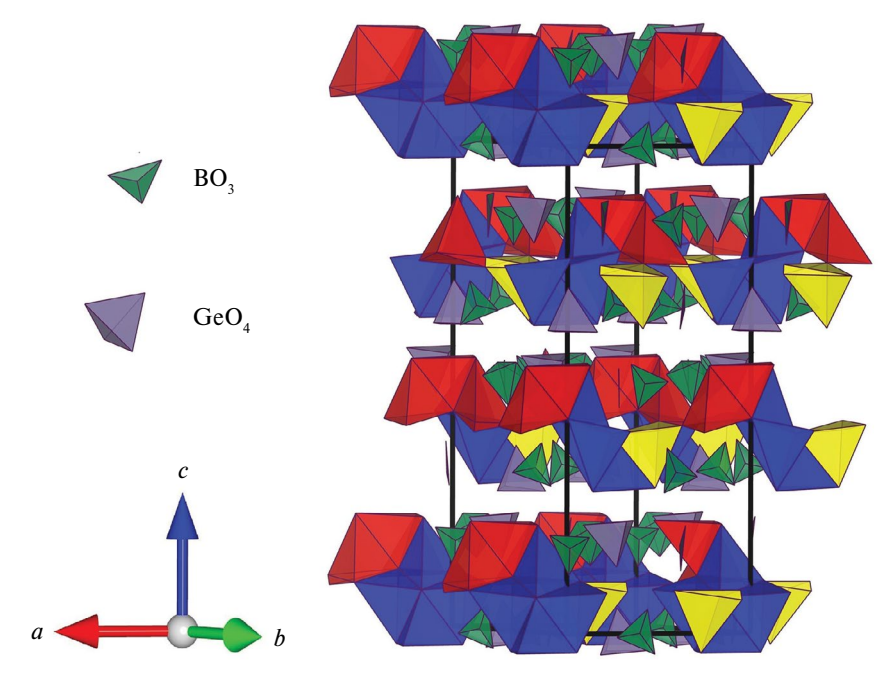


Рис. 4. Флюоритовые модули Карла-Эйринга.

Борогерманат $\mathrm{Sm_{14}(GeO_4)_2(BO_3)_6O_8}$ расширяется слабо анизотропно: $\alpha_a=\alpha_b=9.59(12),~\alpha_c=7.56(13),~\alpha_V=26.74(30)\times10^{-6}~^{\circ}\mathrm{C^{-1}}$ при 30 $^{\circ}\mathrm{C},~$ и $\alpha_a=14.44(12),~\alpha_c=10.74(13),~\alpha_V=39.61(28)\times10^{-6}~^{\circ}\mathrm{C^{-1}}$ при 1200 $^{\circ}\mathrm{C}.$ Степень анизотропии расширения ($\alpha_{\mathrm{max}}/\alpha_{\mathrm{min}}$) практически не изменяется с температурой, но неизменно растет (табл. 2).

Максимальное термическое расширение происходит в плоскости ab, минимальное — вдоль оси c, поскольку в этом направлении расположены плоскости изолированных треугольных радикалов BO_3 (рис. 6). Такой характер термического расширения хорошо согласуется с принципами высокотемпературной кристаллохимии боратов [16, 17].

ЗАКЛЮЧЕНИЕ

Выявлено, что термическое расширение $\rm Sm_{14}(GeO_4)_2(BO_3)_6O_8$ слабо анизотропно. С увеличением температуры степень анизотропии практически не

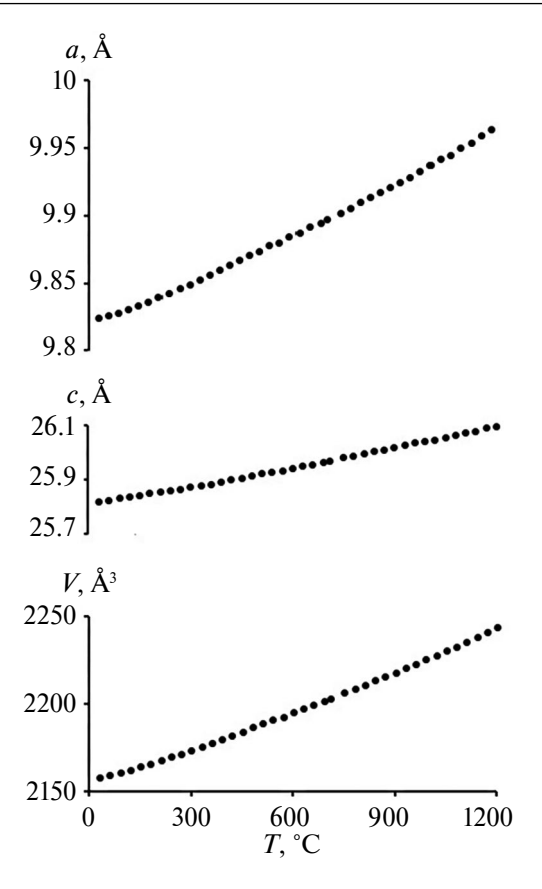


Рис. 5. Температурная зависимость параметров и объема элементарной ячейки борогерманата ${\rm Sm_{14}(GeO_4)_2(BO_3)_6O_8}.$

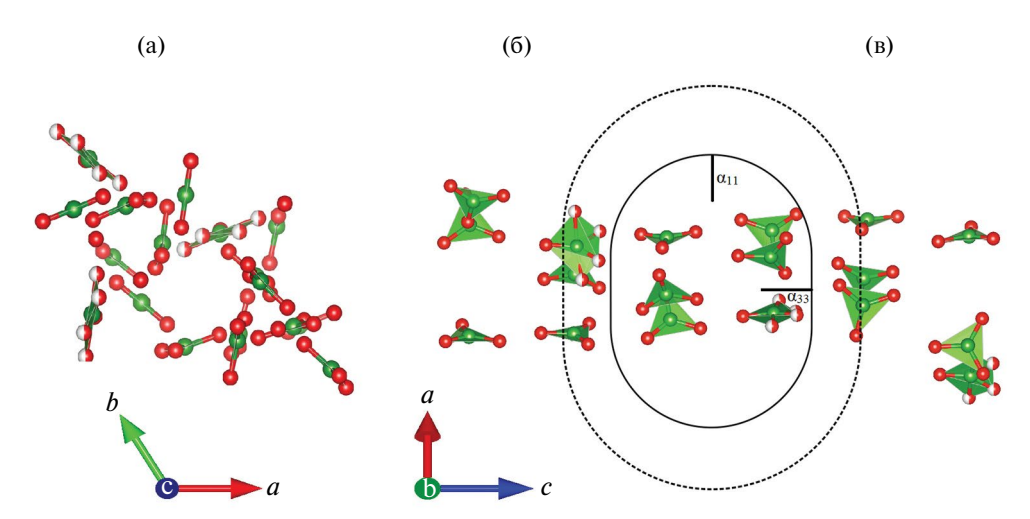


Рис. 6. Ориентация треугольных радикалов BO_3 (*a*) и представление термического расширение в плоскости *ас* (*б*). Сплошная линия — фигура тензора при 25 °C, штриховая — при 1200 °C.

меняется, коэффициенты термического расширения возрастают вследствие возрастания теплового движения атомов. Установлено, что минимально структура расширяется вдоль оси c, максимально — в плоскости ab, перпендикулярно предпочтительной ориентировке треугольников BO_3 в кристаллической структуре. Уточнена температура плавления $Sm_{14}(GeO_4)_2(BO_3)_6O_8$.

ФИНАНСИРОВАНИЕ

Работа выполнена при поддержке гранта РНФ № 22-13-00317 (Рентген-дифракционные исследования) и в рамках государственного задания Министерства науки и высшего образования Российской Федерации (№ 1023033000085-7-1.4.3, ИХС РАН) (синтез обазцов). Рентгенографические исследования были проведены в ресурсном центре СПбГУ "Рентгенодифракционные методы исследования".

БЛАГОДАРНОСТЬ

Авторы выражают благодарность к.т.н. В.Л. Уголкову за выполнение эксперимента ДСК и ТГ.

КОНФЛИКТ ИНТЕРЕСОВ

Авторы данной работы заявляют, что у них нет конфликта интересов.

СПИСОК ЛИТЕРАТУРЫ

- Truong L.N., Dussauze M., Fargin E., Santos L., Vigouroux H., Fargues A., Adamietz F., Rodriguez V. Isotropic octupolar second harmonic generation response in LaBGeO₅ glass-ceramic with spherulitic precipitation // Appl. Phys. Lett. 2015. V 106. № 161901.
- Sun X.Y., Wang W.F., Yu X.G., Li Y.N., Yang X.X., Chen H.H., Zhang Z.J., Zhao J.T. Luminescent Properties of Eu³⁺-activated (70-x)B₂O₃-xGeO₂-Gd₂O₃ Scintillating Glasses // IEEE T. Nucl. Sci. 2014. V. 61. P. 380–384.
- 3. *Takahashi Y., Iwasaki A., Benino Y., Fujiwara T., Komatsu T.* Ferroelectric Properties and Second Harmonic Intensities of Stillwellite-Type (La,*Ln*)BGeO₅ Crystallized Glasses // Jpn. J. Appl. Phys. 2002. V. 41. P. 3771–3777.
- 4. Zhang J.H., Kong F., Xu X., Mao J.G. Crystal structures and second-order NLO properties of borogermanates // Journal of Solid State Chemistry. 2012. V. 195. P. 63–72.
- 5. Bu X.H., Feng P.Y., Stucky G.D. Isolation of germanate sheets with three-membered rings a possible precursor to three-dimensional zeolite-type germinates // Chem. Mater. 1999. V. 11. P. 3423–3424.
- Keeffe M.O., Yaghi O.M. Germanate Zeolites Contrasting the Behavior of Germanate and Silicate Structures Built from Cubic T₈0₂₀ Units (T = Ge or Si) // Chem. Eur. J. 1999. V. 5. P. 2796–2801.
- Zhou Y., Zhu H., Chen Z., Chen M., Xu Y., Zhang H., Zhao D. A Large 24-Membered-ring Germanate Zeolite-type Open-framework Structure with Three-dimensional Intersecting Channels // Angew. Chem. Int. Ed. 2001. V. 40. P. 2166–2168.
- 8. Mutailipu M., Poeppelmeier K.R., Pan S. Borates A Rich Source for Optical Materials // Chemical Reviews. 2020. V. 121(3). P. 1130–1202.
- 9. *Илюхин А.Б.*, Джуринский Б.Ф. Кристаллические структуры $Ln_{14}(GeO_4)_2(BO_3)_6O_8$ (Ln = Nd, Sm) и $Tb^{3+}_{54}Tb^{4+}(GeO_4)_{12}O_{59}$ // Журнал неорганической химии. 1994. Т. 39. № 9. С. 556–563.

- Кривовичев С.В., Филатов С.К. Кристаллохимии минералов и неорганических соединений с комплексами анионоцентрированных тетраэдров // СПб: Изд-во СПбГУ, 2001.
 200 с.
- 11. *Kang Z.C., Eyring L.* A compositional and structural rationalization of the higher oxides od Ce, Pr and Tb // J. Alloys Compd. 1997. V. 249. P. 206–212.
- 12. *Krivovichev S.V.* Systematic of fluorite-related structures. I. General principles // Solid State Sci. 1999, V. 1, P. 211–219.
- 13. *Krivovichev S.V.* Systematic of fluorite-related structures. II. Strucrural diversity // Solid State Sci. 1999. V. 1. P. 221–231.
- 14. *Бубнова Р.С., Фирсова В.А., Филатов С.К.* Программа определения тензора термического расширения и графическое представление его характеристической поверхности ThetaToTensor (TTT) // Физика и химия стекла. 2013. Т. 39. № 3. С. 505—509.
- 15. *Бубнова Р.С.*, *Фирсова В.А.*, *Волков С.Н.*, *Филатов С.К*. RietveldToTensor: программа для обработки порошковых рентгендифракционных данных, полученных в переменных условиях // Физика и химия стекла. 2018. Т. 44. № 1. С. 48—60.
- 16. *Бубнова Р.С.*, *Филатов С.К*. Высокотемпературная кристаллохимия боратов и боросиликатов. СПб.: Наука, 2008. 760 с.
- 17. Bubnova R.S., Filatov S.K. High-temperature borate crystal chemistry // Z. Kristallogr. 2013. V. 228. P. 395–428.